

III-164 弾塑性有限要素解析と非線形弾性有限要素解析の比較について

(脚) 日建設計

小沢 良夫

要旨: 現在広く用いられている、7つの法則にもとづいた非線形弾性有限要素解析には、いくつからの欠点が含まれている。これを改善する一つの方法として、Lade によって提案された応力-ヒズミのモデルを用いた弾塑性有限要素解析が、砂質土の応力や変形の解析に非常に有効であることを示した。¹⁾ ここでは、この弾塑性解析が実際の問題に適用された場合にも有効であることを示すため、定動土圧問題を非線形解析および弾塑性解析の両方法によって解き、その比較検討を行なった。

1. 非線形弾性解析の方法

ISBILD と呼ばれる非線形有限要素解析プログラムに用いられた解析方法は、つきの通りである。²⁾ この方法では、載荷量はいくつかの小さな増分に分割され、各増分における応力-ヒズミ関係は次式で与えられる。

$$\begin{cases} d\sigma_x \\ d\sigma_y \\ d\tau_{xy} \end{cases} = \begin{bmatrix} M_B + M_D & M_B - M_D & 0 \\ M_B - M_D & M_B + M_D & 0 \\ 0 & 0 & M_D \end{bmatrix} \begin{cases} d\epsilon_x \\ d\epsilon_y \\ d\gamma_{xy} \end{cases} \quad (1)$$

ここに、 $M_B = E_t / 2 \cdot (1 + \nu_t) (1 - 2 \cdot \nu_t)$, $M_D = E_t / 2 \cdot (1 + \nu_t)$ である。

接線弾性係数、 E_t は応力-ヒズミ関係を双曲線で近似することによって、次式で表わされる。³⁾

$$E_t = K \cdot p_a \left(\frac{\sigma_3}{p_a} \right)^n \left[1 - \frac{R_f \cdot (1 - \sin \phi)(\sigma_1 - \sigma_3)}{2 \cdot C \cdot \cos \phi + 2 \cdot \sigma_3 \cdot \sin \phi} \right]^2 \quad (2)$$

ここに、 K や R_f および C は応力-ヒズミ関係を表すための係数、 p_a は応力と同じ単位で表わされた大気圧、 σ_1 は最大主応力、 σ_3 は最小主応力、 C は粘着力、 ϕ は内部摩擦角である。

接線ギヤソン比、 ν_t は同じように、双曲線関数を用いて、次のように表わされる。³⁾

$$\nu_t = \left[\frac{G - F \cdot \log(\sigma_3/p_a)}{1 - \frac{d'(\sigma_1 - \sigma_3)}{K \cdot p_a \left(\frac{\sigma_3}{p_a} \right)^n \left[1 - \frac{R_f \cdot (1 - \sin \phi)(\sigma_1 - \sigma_3)}{2 \cdot C \cdot \cos \phi + 2 \cdot \sigma_3 \cdot \sin \phi} \right]}} \right]^2 \quad (3)$$

ここに、 G 、 F および d はギヤソン比を表すための係数である。

2. 弾塑性解析の方法

ELPL2D と呼ばれる弾塑性有限要素解析プログラムに用いられた、応力増分、 $d\sigma$ 、ヒズミ増分、 $d\varepsilon$ 、は塑性領域に関する概念と仮定を用いて導かれ、つきのように表わすことができる。

$$d\sigma = \varepsilon^{ep} \cdot d\varepsilon \quad (4)$$

ここに、 ε^{ep} は弾塑性応力-ヒズミマトリックスであり次式で与えられる。

$$\varepsilon^{ep} = \varepsilon^e - \frac{\varepsilon^e \cdot \left(\frac{\partial g}{\partial \sigma} \right) \cdot \left(\frac{\partial f}{\partial \sigma} \right)^T \cdot \varepsilon^e}{\left(\frac{\partial f}{\partial \sigma} \right)^T \cdot C \cdot \left(\frac{\partial g}{\partial \sigma} \right) - \left(\frac{\partial f}{\partial \sigma} \right)^T \cdot \left(\frac{\partial g}{\partial \sigma} \right)} \quad (5)$$

ここに、 f は Yield 関数、 g は塑性ポテンシャル関数、 $d\varepsilon^p$ は塑性ヒズミの増分、 ε^e は弾性マトリックスである。7つの法則の非線形弾性解析に用いられたと同じように、この ε^{ep} が弾塑性解析に用いられる。

Lade のモデルでは、砂質土は等方的にヒズミ硬化する物質と仮定され、Yield 関数は次式で与えられる。⁴⁾

$$f(\sigma, \varepsilon^p) = x - x_t - \frac{W^p}{a + bW^p} = 0 \quad (6)$$

ここに、 $K = I_3^3 / I_3$ 、 K_t は K の初期値、 W^p は全塑性仕事、 a と b は W^p と I_3^3 / I_3 の関係を表すために用いら

れていく双曲線関係に含まれる定数である。

塑性ホテンシャル関数は次式で表わすことができる。

$$g(\Sigma) = (I_1^3 - K_3 I_3) / I_3 \quad (7)$$

ここに、 $K_3 = (2A_1 - 1) I_1^3 / I_3 + 2A_2$ であり、この式に含まれる A_1 と A_2 は定数である。

以上の Yield 関数および塑性ホテンシャル関数を用いて、 Δ^{EP} を計算し、弾塑性解析を行なった。

3. 受動土圧に対する、非線形解析と弾塑性解析の比較

受動土圧が非線形解析プログラム ISBILD と弾塑性解析

プログラム ELPL2D を用いて計算された。解析にはゆるい

砂が用いられ、その応力ヒズミパラメータは表-1 に示されている。

解析に用いられた有限要素網は図-1 に示されているよ

うに、要素数は 149、節点数は 180 である。壁面に沿った節点は、この図に示されているように、同じ水平変位を持

つように条件づけられている。水平力は壁面を裏込めの方向に押すように示されている。

受動圧と壁面の水平変位との関係が、両方の解析に対して、図-2 に示されている。同じ壁面の変位に対して、プログラム ELPL2D を用いて計算された値は、プログラム ISBILD を用いて計算された値より 40% 大きい。また最大受動土圧に対して、ELPL2D で用いて計算された値は、 $\phi = 34.6$ 度を用いて計算されたランキンレ土圧より 20% 大きく、また ISBILD を用いて計算されたものは、この値より 15% 小さい。この理由について以下で説明する。

中间主応力の影響- ELPL2D を用いて計算された要素 A と B (図-1 参照) に対する $b = (\sigma_2 - \sigma_3) / (\sigma_1 - \sigma_3)$ の値の変化が図-3 に示されている。破壊時の b の値は約 0.25 である。この値は平面ヒズミの状態を示しており、中の値は平面ヒズミの状態に対するものが、三軸圧縮試験の状態に対するものより約 5 度大きい。したがって ELPL2D によって得られた計算値は、 $\phi = 40$ 度に相当する強度を用いて計算されており、一方 ISBILD による値は $\phi = 34.6$ 度を用いて計算されている。したがって最大受動土圧の差のうちの部分は、ELPL2D に用いられている応力-ヒズミのモデルが強度に及ぼす中间主応力 σ_2 の影響を考慮することによって生じる。ISBILD に用いられているものは、この影響を考慮することができないといふことに起因している。

ダイレイタシヨンの影響- 要素 A と B に対する載荷中の応力経路が図-4 に示されている。要素 A に対しては、中间主応力の強度に及ぼす影響以外は、両方のプログラムとも同じ応力経路を辿っている。したがって、この要素における強度の差は、主として中间主応力の差による。一方要素 B に対しては、2つの応力経路はまったく異なっている。

・プログラム ELPL2D を用いた解析に用いられた応力ヒズミ関係のパラメーター	
パラメーター	解析に用いた値
$x_1 = I_1^3 / I_3$ at failure	49.2
$x_1 = I_1^3 / I_3$ at threshold	31.0
A_1	0.40
A_2	16.20
R_s	0.963
M	4.0×10^{-4}
i	1.34
K_{ur}	1,740.0
n	0.69
Poisson's Ratio, ν	0.00

・プログラム ISBILD を用いた解析に用いられた応力ヒズミ関係のパラメーター	
パラメーター	解析に用いた値
粘着力 c	0.0
摩擦角 ϕ	34.6
弾性係数を表わす $[K]$	960.0
ためのパラメータ n	0.690
R_s	0.956
ボアン比を表わす $[G]$	0.380
ためのパラメータ F	0.075
d	10.00

表-1 応力-ヒズミ関係のパラメーター

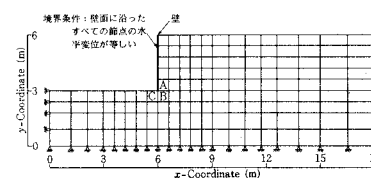


図-1 有限要素網と境界条件

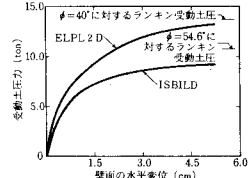


図-2 受動土圧と壁面の水平変位の関係

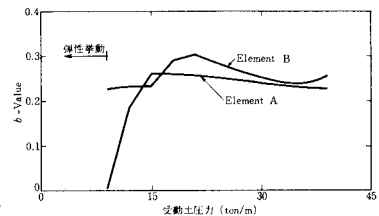


図-3 b 値と受動土圧の関係

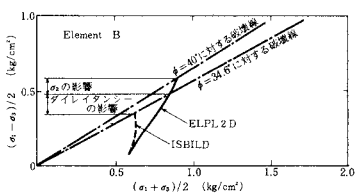
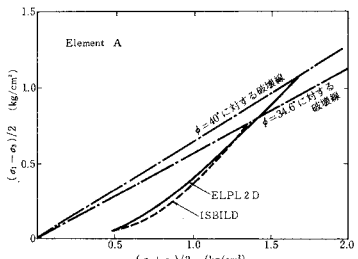


図-4 載荷中の要素 A および B に対する応力経路

要素Bの強度の差は、中間主応力の影響とダイレイタシナーの影響の両者による。これらの2つの効果の大きさは図上に示されている。

破壊帯の発生 - 応力レベルのコンターがELPL2Dに対しては図-5に、ISBILDに対しては図-6に示されている。両方のプログラムに対して、破壊は要素Cにおいて発生する。しかしながら、これ以後の破壊帯の広がりは両者は異なっている。プログラムISBILDの結果では、荷重が $21\text{tons}/\text{m}$ に達したとき要素Bに広がり、 $27\text{tons}/\text{m}$ に達したとき、要素Aに広がっている。一方プログラムELPL2Dの結果では、荷重が $39\text{tons}/\text{m}$ に達しても、破壊帯は広がらない。この差は、ELPL2Dに用いられている応力-ヒズミのモデルにはダイレイタシナーの影響が含まれておらず、そのため、側方圧が増加し、破壊を防止する原因になっている。

以上の結果から、受傷土圧の大きさとは、主として中間主応力に影響される。
しかし、要素Aに広がっている。一方プログラムELPL2Dの結果では、荷重が $39\text{tons}/\text{m}$ に達しても、破壊帯は広がらない。この差は、ELPL2Dに用いられている応力-ヒズミのモデルにはダイレイタシナーの影響が含まれておらず、そのため、側方圧が増加し、破壊を防止する原因になっている。

以上の結果から、受傷土圧の大きさとは、主として中間主応力に影響される。
しかし、要素Aに広がっている。一方プログラムELPL2Dの結果では、荷重が $39\text{tons}/\text{m}$ に達しても、破壊帯は広がらない。この差は、ELPL2Dに用いられている応力-ヒズミのモデルにはダイレイタシナーの影響が含まれておらず、そのため、側方圧が増加し、破壊を防止する原因になっている。

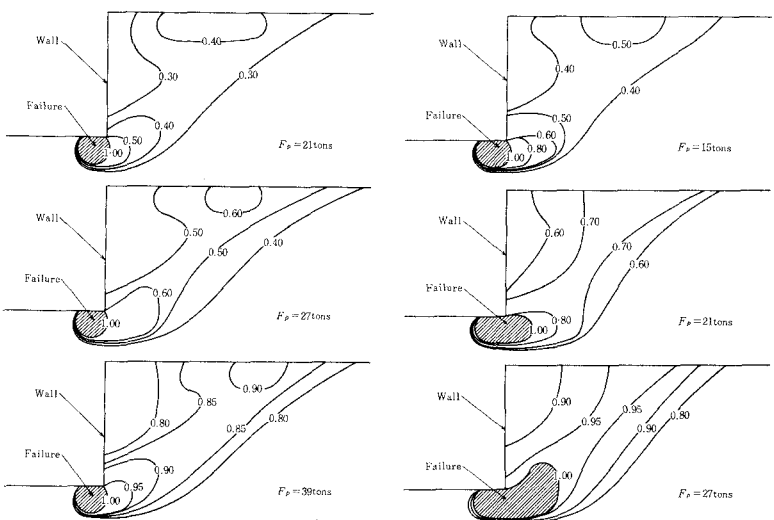


図-5 プログラムELPL2Dを用いた結果に対する応力レベルのコンター

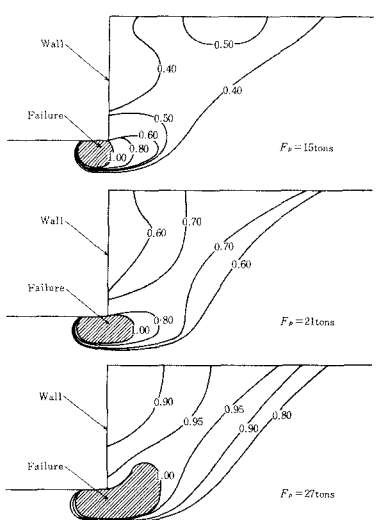


図-6 プログラムISBILDを用いた結果に対する応力レベルのコンター

4. あとがき

この報告では、現在広く用いられている非線形解析の方法とLadeの応力-ヒズミのモデルを用いて弾塑性解析の方法を用いて、受傷土圧の解析を行なった。その結果、弾塑性解析が砂質土の応力や変形の解析に非常に有効であることが示された。

弾塑性有限要素解析が、種々の地盤工学上の問題に広く用いられるためには、まだ多くの作業が必要であるが、この種の解析が有限要素解析の精度を実験的に改良するものと考えられる。

この報告は、著者が米国、カリフォルニア大学留学中にまとめた論文の一部である。最後にではあるが、この研究を行なうにあたり、種々ご指導下さった、カリフォルニア大学のJ. M. Duncan教授に感謝の意を表す次第である。

参考文献

1. 小沢良夫：第29回土木学会年次学術講演会講演集 P. P. 137, 1974
2. Duncan, J. M., and Chang, C.-Y., ASCE, Vol. 96, No. SM5, p. 1629, 1970
3. Kulhawy, F. H., Duncan, J. M., and Seed, H. B., U. C. Berkeley Report No. TE-69-4, 1969
4. Lade, P. V., Ph.D. Thesis Presented to U. C. Berkeley, 1972
5. Ozawa, Y., Ph.D. Thesis Presented to U. C. Berkeley, 1973